低 Mg ドープ p-AlGaN 及び p-InGaN ショットキー電極の 表面欠陥の評価

Surface defects of low-Mg-doped p-AlGaN and p-InGaN Schottky contacts

福井大院工, ○青木俊周, 塩島謙次

Univ. of Fukui, °T. Aoki, K. Shiojima

E-mail: shiojima@u-fukui.ac.jp

1.はじめに: 我々はこれまでに、p-GaN の Mg ドーピング量を下げ ることで良好なショットキーI-V 特性を実現し、ミッドギャップ準位 の充放電に伴うメモリー効果をI-V及びC-V特性において観察した[1. 2]。前回、低 Mg ドープの手法により p-AlGaN, p-InGaN ショットキー 電極の I-V 特性においてメモリー効果を観察した[3]。今回はメモリー 効果の原因である表面に局在するアクセプタ型欠陥を高温 ICTS 測定 で評価したので報告する。

2.試料構造、測定条件: 図1に試料構造を示す。GaN 自立基板上に MOCVD 法でアンドープ GaN を 2 μm 成長し、その上に p-GaN を 1 μm、 低 Mg ドープ(Mg = 1×10^{18} cm⁻³) の Al 組成 2% p-AlGaN、または In 組 成 2% p-InGaN を 0.2 µm 成長した。電子ビーム蒸着法により, Ni/Au ショットキー電極(200~500 µmb)を形成した。オーミック電極はInGa を用いて形成した。

高温 ICTS の測定条件は、温度 175 ℃ で、順方向フィリングパルス -10 V を 1 分間印加した後にバイアス電圧 0 V で容量測定を開始した。 3.結果と考察: 図2に各試料の容量の過渡応答を示す。p-GaN 試料 では容量が時間と共に緩やかに増加し、1000 秒付近から指数関数的 に増加した。この過渡応答は1.5桁で収束しており、単一準位を示唆 している。しかし、p-AlGaN, p-InGaN 試料では、単一準位に加えて、 1000 秒以下の領域で容量増加が顕著である。

図3に各試料のICTS スペクトルを示す。p-GaN 試料では10564 秒 に大きなシングルピークが得られた。これは、以前報告した E_v + 1.1 eV のガリウム空孔(V_{Ga})と一致する[4]。p-AlGaN 及びp-InGaN 試料で のピークはそれぞれ 13925 秒、6079 秒に位置する。アレニウスプロ ットから求めた p-AlGaN 及び p-InGaN 試料の V_{Ga}のイオン化エネル ギーは p-GaN 試料と比べて 10 meV 増加、及び 20 meV 減少した。混 晶比から求めた E。の変化が AlGaN で 37 meV の増加、 InGaN で 73 meV の減少であるので、E。の変化の約 1/3 が E、の変化に相当するこ とが分かった。また、p-AlGaN 及び p-InGaN 試料のピークの短時間 側は大きく裾を引いており、100秒において p-GaN 試料より p-AlGaN で2倍、p-InGaNで3倍の信号強度となった。このことから両試料で はベースとなる連続準位の密度が高いと考えられる。

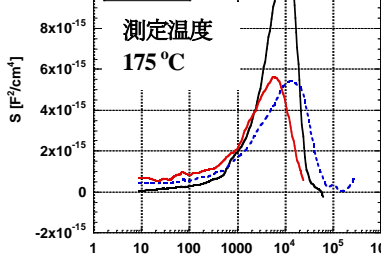


図3.ICTS スペクトル

Time [s]

参考文献

- [1] K. Shiojima et al, Appl. Phys. Lett., Vol. 74, p. 1936 (1999)
- [2] K. Shiojima et al, Appl. Phys. Lett., Vol. 77, p. 4353 (2000)
- [3] 青木俊周, 塩島謙次他, 第61 回応用物理学会春季学術講演会, 18p-PG3-18
- [4] K. Shiojima et al, Thin Solid Films, Vol. 557, p. 268 (2013)

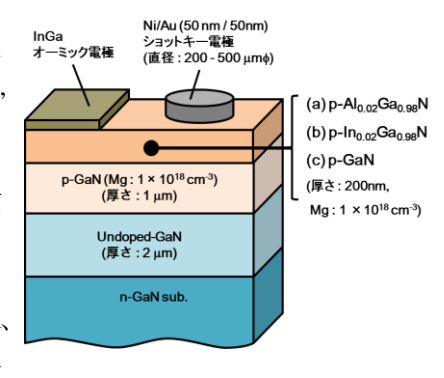


図1. 試料構造

図 2. 容量の過渡応答